

УДК 536.42.1

©1993

МЕХАНИЗМ РЕКОНСТРУКТИВНОГО ПЕРЕХОДА В1-В2 В ЩЕЛОЧНО-ГАЛОИДНЫХ КРИСТАЛЛАХ

Ю.М.Гуфан, И.В.Терновский

Предложен механизм перехода В1-В2 в щелочно-галоидных кристаллах на основе деформации простого сдвига. Показано, что отличие ориентационных соотношений для перехода в кристаллах CsCl и галоидах K и Rb связано с различной ориентацией смещающихся плоскостей при переходе. Приведен вывод зависимости параметра порядка Ландау феноменологической теории от параметра перехода — величины относительного сдвига плоскостей. На основе предложенного механизма для канонического потенциала построена единая фазовая диаграмма щелочно-галоидных кристаллов. Область фазовой диаграммы, соответствующая переходу В1-В2, качественно совпадает с приведенными в литературе экспериментальными диаграммами $P-T$.

Ряд галогенидов щелочных металлов K, Cs, Rb, а также NH_4 испытывают обратимое полиморфное превращение В1 (тип NaCl, пространственная группа O_h^5)—В2 (тип CsCl, пространственная группа O_h^1) при изменении температуры либо давления. Как указывается в [1–3], процесс полиморфных превращений в этих веществах имеет много общих черт с мартенситными превращениями в металлах и сплавах.

Известно, что кристаллогеометрическая схема рассматриваемого перехода сводится к появлению в решетке закономерно ориентированной деформации сдвига [1]. Действительно, рассмотрим примитивную ячейку структуры В1 (рис. 1,а). Она представляет собой ромбоэдр с ребрами равной длины, образованный тремя минимальными трансляциями кубической гранецентрированной ячейки. Очевидно, что этот ромбоэдр является искажением элементарной ячейки структуры В2, а именно растяжением этой ячейки вдоль одной из главных диагоналей при минимальном изменении длины ребер и расстояния между центром куба и ближайшими к нему вершинами. Такое растяжение соответствует равенству всех недиагональных элементов в тензоре деформации. Как показано в [4,5], недиагональные компоненты тензора деформации преобразуются по не-приводимому представлению τ_7 группы O_h , а пространственная группа, образующаяся при такой деформации, — D_{3d}^3 . Механизм перехода В1-В2, основанный на деформации вдоль главной диагонали, был предложен Бюргером [6]. Указанный механизм перехода не противоречил эксперименту до тех пор, пока не были получены данные по ориентационным соотношениям, т.е. ориентации кристаллографических осей и направлений структур В1 и В2 по отношению друг к другу.

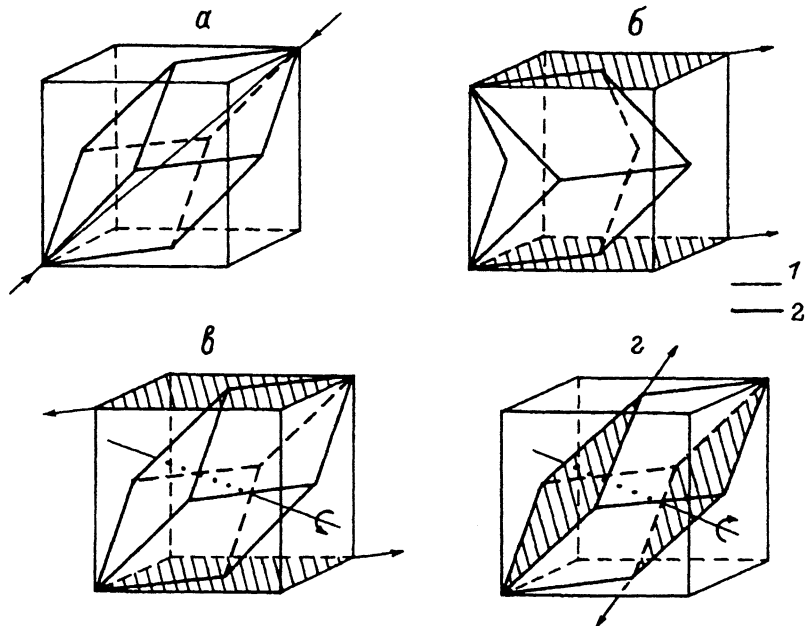


Рис. 1. Различные механизмы переходов B1-B2.

а — механизм Бюргера; б — механизм Ватанабе для CsCl; в, г — механизм сдвиговой деформации для CsCl и для галогенидов К и Rb соответственно. 1 — элементарная ячейка структуры B1, 2 — искаженная в соответствии с предложенным механизмом элементарная ячейка структуры B2.

В [7] был предложен новый механизм перехода B1-B2, правильно описывающий ориентационные соотношения для CsCl. Этот механизм значительно отличается от предложенного Бюргером для всего класса щелочно-галоидных кристаллов. В работе [8] указывается, что для галоидов К и Rb ориентационные соотношения отличаются как от [7], так и от соотношений, следующих из механизма Бюргера. В [9] для щелочно-галоидных кристаллов приведено 6 типов ориентационных соотношений и на основе некоторых из них рассчитывается химический потенциал. Таким образом, не существует полного понимания механизма перехода для близких по свойствам и одинаковых по структуре веществ; предлагаются различные механизмы переходов.

Исследование механизмов переходов в щелочно-галоидных кристаллах в рамках феноменологической теории фазовых переходов и является целью настоящей работы.

Особенностью описываемого полиморфизма является то, что гистерезис перехода B1-B2 при определенных условиях значительно уменьшается. Действительно, как отмечается в [1,2], при повышении температуры в KCl, а также в галогенидах рубидия, процесс приобретает черты немартенситных превращений. Повышение температуры приводит к значительному уменьшению величины гистерезиса [1,2]. (В [2] приведены T-P диаграммы превращений RbCl, RbBr, RbI). В частности, указывается, что для галогенидов рубидия при температуре выше 120° для B1-B2

и выше $+20^\circ$ для B2-B1 превращение происходит быстро, но плавно, без заметных скачков, характерных для перехода при температуре ниже указанных величин.

Значительное уменьшение гистерезиса с ростом температуры говорит о сходстве таких переходов с переходами первого рода, близких ко второму, и о возможности рассмотрения в рамках феноменологической теории Ландау. Такая возможность появилась в связи с тем, что в последние годы в серии работ [10-13] были предложены основные принципы построения симметрийно-обоснованных моделей реконструктивных фазовых переходов. Этот метод был применен для описания $\beta - \omega$ переходов в никель-титановых сплавах, фазовых переходов между плотноупакованными структурами A1 и A3, а также A1-A2 и A2-A3 [11].

Важным для нас результатом феноменологической теории [10-13] является доказательство того, что реконструктивные переходы можно описывать в схеме теории Ландау переходов второго рода и что они действительно могут быть близки к фазовым переходам второго рода.

1. Анализ механизмов перехода B1-B2

Приведем анализ предложенных механизмов и ориентационных соотношений, придерживаясь следующего предположения: расстояния между атомами — ближайшими соседями — при непрерывном искажении ячейки должны отклоняться от исходных незначительно. (Это предположение допускает изменение числа ближайших соседей). Выполнение этого предположения позволит исключить состояния, в которых потенциальная энергия кристалла значительно возрастает.

Проанализируем механизм перехода в ScCl, предложенный в работе [7]. В [7] рассматривается фазовый переход B2-B1 в монокристаллах ScCl, происходящий при температуре 446°C . Здесь ориентационные соотношения определялись с помощью рентгеноструктурного анализа как для B2-B1 с повышением температуры, так и для B1-B2. Они имеют вид

$$[100]\text{B1} \parallel [110]\text{B2}; \quad [011]\text{B1} \parallel [001]\text{B2}.$$

(Индексы Миллера в квадратных скобках обозначают направления, в круглых — плоскости). В этой работе указывается, что ориентационные соотношения, предложенные ранее [14] для CsCl, не совпадают ни с полученными ранее, ни с соотношениями, следующими из механизма Бюргера.

Параметр ячейки структуры B2 при $t = 446 \pm 2^\circ\text{C}$ составляет $4.227 \pm 0.004 \text{ \AA}$, а структуры B1 при той же температуре $7.077 \pm 0.003 \text{ \AA}$. Объем, приходящийся на химическую формулу в точке перехода, меняется от 75.53 \AA^3 для структуры B2 до 88.61 \AA^3 для структуры B1. (Таким образом, объем ячейки увеличивается на 17.3% по сравнению со структурой B2). В [7] отмечается значительная анизотропия расширения кристалла. Основное расширение, составляющее 15% изменения длины, происходит в одном из шести эквивалентных направлений [110]B2. Расширение происходит в направлении движения фронта перехода B2-B1. В [7] отмечается, что площадь, приходящаяся на химическую формулу в плоскости (100)B2-(100)B1, при переходе меняется только на 0.9%.

Сравнение параметров ячеек структур B1 и B2 говорит о том, что ближайшие расстояния между ионами меняются незначительно. Действительно, при одной и той же температуре $t = 446^\circ\text{C}$ кратчайшее расстояние между позициями ионов разного сорта в структуре B2 составляет 3.661 Å, в структуре B1-3.539 Å, а расстояние между позициями ионов одного сорта в структуре B2-4.227 Å, в структуре B1-5.004 Å.

Элементарные расчеты [15] для таких расстояний между позициями ионов указывают, что энергия Маделунга при переходе B2-B1 изменяется на 2.6%.

В [7] предложен механизм перехода B1-B2, отличающийся от механизма Бюргера. А именно структура меняется слой за слоем, при этом происходят два вида движения: межслоевое переупорядочение и внутрислоевое трансляционное движение [7]. К сожалению, описание механизма перехода в [7] неполное. На основе рисунков, приведенных в статье [7], опишем более подробно смещение позиций ионов.

Согласно [7], переход B1-B2 произойдет при смещении каждой второй плоскости (100)B1 в направлении [011]B1 (рис. 1, б). На рис. 2 представлены сечения кристалла вдоль плоскости (011)B1 (а), (011)B1 (в). В результате смещения ионы A, B, C и D оказываются в одной плоскости (рис. 2, в), образуя ромб. При дополнительных искажениях, в частности чистом сдвиге A-A', B-B', образуется квадрат A'C'B'D', который служит основанием элементарной ячейки структуры B2.

Таким образом, переход происходит по неприводимому представлению τ_{10} звезды вектора K₁₀ [11]. При переходе происходит удвоение ячейки с образованием пространственной группы D_{2h}¹³. Дополнительные искажения, переводящие указанную низкосимметричную структуру в структуру B2, соответствуют компонентам тензора деформации. Искажение такого типа не может быть индуцировано представлением τ_{10} [16]. Следовательно, для полного описания перехода необходимо привлечь второй параметр порядка, преобразующийся так же, как и компоненты тензора деформации.

Предложенный в [7] механизм перехода хорошо согласуется с наблюдаемым на эксперименте расширением кристалла, однако предполагает мультиплексацию ячейки. Следовательно, переход по механизму [7] должен сопровождаться появлением лучевых доменов. Однако описание перехода в [7] свидетельствует, по-видимому, об отсутствии мультиплексации ячейки, а изменения структуры близки к тому, что можно получить при деформации монокристалла. Действительно, как отмечается в [7], если переход B2-B1 завершен, то обратный переход B1-B2 начинается при температуре на 15 – 25 °C ниже, чем переход B2-B1. Однако если переход B2-B1 произошел не полностью и часть вещества образца имеет структуру B2, то при понижении температуры переход B1-B2 проходит при той же температуре, что и B2-B1. Еще одной особенностью, заслуживающей внимание при анализе данного перехода, является то, что после циклирования образца через точку перехода большинство образцов возвращается к исходной форме. Таким образом, эксперимент, по-видимому, говорит о деформационном характере перехода.

Рассмотрим механизм перехода, основанный на сдвиговой деформации, не противоречащий указанным выше экспериментальным фактам. На рис. 1, в изображено соответствующее изменение структуры кристал-

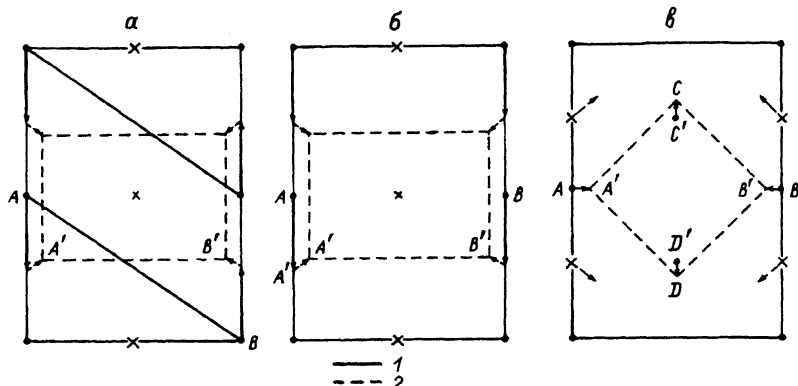


Рис. 2. Сечения элементарной ячейки структуры B1 при переходе в CsCl.

a — $(0\bar{1}\bar{1})B1$ для механизма Ватанабе, *b* — $(0\bar{1}\bar{1})B1$ для механизма сдвиговой деформации, *c* — $(011)B1$. 1 — сечение элементарной ячейки структуры B1, 2 — сечение элементарной ячейки структуры B2 при той же температуре. Точками обозначены позиции ионов одного сорта, а крестиками — другого.

ла, сохраняющее расстояние между ионами. Такой механизм близок к предложенному Бюргером и соответствует искажению простого сдвига, связанному с движением плоскостей $(100)B1$ в направлении $[011]B1$. Как видно из рис. 2, *b*, плоскости $(001)B1$ сдвигаются в противоположных направлениях, слабо изменяя расстояние между ионами.

Проанализируем требования, налагаемые выбором механизма на симметрию системы. Тензор, отвечающий деформации простого сдвига, несимметричный. Этот тензор можно представить в виде суммы симметричного и антисимметричного тензоров соответственно, искажения деформации чистого сдвига и поворота системы как целое

$$\xi_{ik} = \varepsilon_{ik} + \chi_{ik}.$$

Следовательно, чтобы совместить систему, искаженную деформацией простого сдвига, с системой, искаженной деформацией чистого сдвига, необходимо повернуть систему как целое. В случае простого сдвига плоскостей (100) в направлении $[010]$ (рис. 3) ξ_{ik} имеет все нулевые компоненты, кроме ξ_{xy} , а в ε_{ik} и χ_{ik} отличны от нуля только компоненты

$$\varepsilon_{xy} = \varepsilon_{yx} = \chi_{xy} = -\chi_{yx} = \operatorname{tg} \alpha / 2 \approx \alpha / 2.$$

Таким образом, если предложенный механизм верен, то низкосимметричная фаза при малой деформации должна быть инвариантна одновременно относительно деформации чистого сдвига и вектора поворота. В данном случае таким требованиям при малых деформациях отвечает решение уравнения состояния $\eta_1 = \eta_2, \eta_3$. Симметрия соответствующей низкосимметричной фазы будет C_{2v}^3 [4].

Предложенный механизм отличается от механизма Ватанабе только тем, что в последнем случае плоскости сдвигаются в одном направлении, а не в противоположных. Сечения $(011)B1$ для механизмов [7] и предложенного здесь совпадают и полностью согласуются с данными по расширению кристалла вдоль направления $[100]B1$ в эксперименте, описанном в [7].

Рассмотрим теперь переход другого типа в галоидах K и Rb (кроме RbF). Монокристаллы KCl, в частности, испытывающие превращения в обоих направлениях, в основном сохраняют прозрачность, первоначальную форму и детали структуры поверхности. А для фазового превращения, когда средой, передающей давление, служит не жидкость, а свинец, кубический образец приближается к ромбоэдрической форме. Случаи появления остаточной макроскопической деформации наблюдались также при резком сбросе давления из области существования фазы B2^[1].

Ориентационные соотношения для этого типа перехода описаны в [8]

$$(100)B1 \parallel (111)B2; \quad (111)B1 \parallel (100)B2.$$

В статье [8] не обсуждался механизм перехода, а только указывалось, что направление смещения атомов будет отличаться от направлений смещений, следующих из механизма Бюргера. В галоидах K и Rb реализуется другой тип деформации сдвига — сдвигаются слои (111)B1 в направлении [211]B1 (рис. 1,2). Однако переход B1-B2 здесь также можно описывать как деформацию простого сдвига плоскостей (111)B1 в направлении [211]B1. Таким образом, при малых искажениях структур, так же как и в CsCl, в галоидах K и Rb будет образовываться фаза с симметрией C_{2v}^3 .

2. Феноменологическое описание перехода

Как известно, в феноменологической теории Ландау при переходе рассматривается изменение зарядовой плотности

$$\rho = \rho_0 + \delta\rho,$$

где

$$\delta\rho = \sum'_{\alpha} \sum'_i f_i(\mathbf{r}) = \sum'_{\alpha} \sum'_i \eta_i \varphi_i(\mathbf{r}),$$

$f_i(\mathbf{r})$ — функции, переходящие друг в друга под действием операций пространственной группы. Эти функции преобразуются по неприводимым представлениям, ответственным за переход [17]. Далее для анализа изменений при реконструктивном переходе B1-B2 воспользуемся результатами решения угловой задачи теории фазовых переходов [5].

Рассмотрим изменение функции распределения зарядовой плотности в низкосимметричной фазе для заданного механизма — деформации простого сдвига (рис. 3). Если предложенный механизм верен, то функции $f_i(\mathbf{r})$ можно выбрать так, чтобы они преобразовывались как недиагональные компоненты тензора деформации по представлению τ_7 , $K = 0, O_h$. При смещении слоев относительно друг друга на величину q (рис. 3) функция распределения должна меняться периодически, так как структуры при сдвиге на величину $q + na_1/2$ эквивалентны для любого целого n . (Для удобства дальнейшего изложения введем безразмерную величину сдвига $\gamma = 4\pi q/a_1$). Относительный сдвиг слоев кристалла на произвольную величину γ вдоль оси a_1 можно рассматривать как операцию.

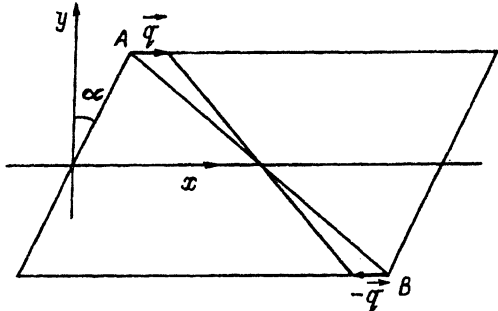


Рис. 3. Изменение ячейки под действием деформации простого сдвига.

Смещающиеся плоскости (100) в направлении (010).

В этом случае все возможные сдвиги вдоль оси a_1 образуют непрерывную группу. Неприводимые представления этой циклической группы имеют вид $\exp\{im\gamma\}$, где m — целая величина, нумерующая представления.

Деформация сдвига сохраняет симметрию $\delta\rho$, а следовательно, низкосимметричная фаза остается инвариантной по отношению к операциям рассматриваемой непрерывной группы. Произвольную деформацию сдвига можно представить в виде разложения по сдвигам, направленным вдоль исходных трансляций. Рассмотрим сначала преобразования, которые соответствуют искажению ε_{xy} .

На рис. 3 изображена одна ячейка кристалла. Искажения любой другой ячейки можно представить в виде суперпозиции смещения ячейки как целого и деформации, изображенной на этом рисунке. Точки A и B в исходном состоянии связаны трансляцией. Рассмотрим дальнейшее искажение как возникновение вектора деформации сдвига в точке A . Тогда для функции зарядовой плотности будет справедливо разложение по неприводимым представлениям непрерывной группы сдвига в окрестности точки A (рис. 3)

$$\delta\rho = \sum_m (\delta\rho)_m \exp \{im(\gamma - \gamma_0)\},$$

$$(\delta\rho)_m = \int_0^{2\pi} \delta\rho \exp \{im(\gamma - \gamma_0)\} d\gamma. \quad (1)$$

Из всех преобразований, сохраняющих искажение ε_{xy} , достаточно рассмотреть преобразования, отвечающие ядру гомоморфизма L -группы [6]. В данном случае — это тождественное преобразование и инверсия. Таким образом, получим

$$\delta\rho(r, \gamma) = \delta\rho_A(r, \gamma) + \delta\rho_B(r, -\gamma) =$$

$$= \sum_m ((\delta\rho_A)_m \exp \{im(\gamma - \gamma_0)\} + (\delta\rho_B)_m \exp \{-im(\gamma - \gamma_0)\}).$$

Можно показать, что коэффициенты $(\delta\rho_A)_m$ и $(\delta\rho_B)_m$ в разложении (1) в окрестностях точек A и B , совпадающие при $\gamma = 0$, остаются совпада-

ющими при других значениях γ . Тогда можно записать

$$\delta\rho = \sum_m (\delta\rho_A)_m \cos(m\gamma) = \sum_m (\delta\rho)_m \cos(m\gamma).$$

Запишем теперь явно индекс функции, по которому преобразуется $\delta\rho$ (1 соответствует ε_{xy} , 2 — ε_{xz} , 3 — ε_{yz})

$$\delta\rho^{(1)} = \sum_{m_1} \delta\rho_{m_1}^{(1)} \cos(m_1(\gamma_1 - \gamma_{10})).$$

Рассматривая все возможные преобразования пространственной группы, получим, что $\delta\rho^{(1)}$ переходит в функции $\delta\rho^{(2)}$ и $\delta\rho^{(3)}$, а $\gamma^{(1)}$ — в $\gamma^{(2)}$ и $\gamma^{(3)}$ либо остается неизменной. Таким образом, для функции $\delta\rho$ следует записать

$$\begin{aligned} \delta\rho = & \sum_{m_1} \delta\rho_{m_1}^{(1)} \cos(m_1(\gamma_1 - \gamma_{10})) + \\ & + \sum_{m_2} \delta\rho_{m_2}^{(2)} \cos(m_2(\gamma_2 - \gamma_{20})) + \sum_{m_3} \delta\rho_{m_3}^{(3)} \cos(m_3(\gamma_3 - \gamma_{30})). \end{aligned}$$

Потребуем, чтобы функция $\delta\rho^{(1)}$ обращалась в нуль и достигала экстремума с периодом $pa_1/2$ по γ_1 , тогда все m_1 , кроме $m_1 = 1$, должны обращаться в нуль. Аналогичные требования накладываются на $\delta\rho^{(2)}$ и $\delta\rho^{(3)}$. Выбирая $\gamma_0 = \pi/2$, получим окончательно

$$\delta\rho = \sin(\gamma_1) \left\{ \delta\rho_1^{(1)} \right\} + \sin(\gamma_2) \left\{ \delta\rho_1^{(2)} \right\} + \sin(\gamma_3) \left\{ \delta\rho_1^{(3)} \right\}. \quad (2)$$

Теперь, если в (2), следуя [17], выделить функции, зависящие только от координат и не зависящие от микроскопического параметра порядка γ (в выражении (2) они выделены фигурными скобками), то, сравнивая с [17], получим, что параметр порядка Ландау будет иметь вид

$$\eta_1 = \sin(\gamma_1), \quad \eta_2 = \sin(\gamma_2), \quad \eta_3 = \sin(\gamma_3).$$

Соответственно инварианты для данного перехода следующие:

$$\begin{aligned} I_1 &= \sin^2(\gamma_1) + \sin^2(\gamma_2) + \sin^2(\gamma_3), \\ I_2 &= \sin(\gamma_1) \sin(\gamma_2) \sin(\gamma_3), \\ I_3 &= \sin^4(\gamma_1) + \sin^4(\gamma_2) + \sin^4(\gamma_3). \end{aligned} \quad (3)$$

Для анализа фазовой диаграммы рассмотрим канонический потенциал (представляющий собой полином по первым и вторым степеням инвариантов), который отражает все особенности фазовой диаграммы, следующие из симметрии системы [18]. Как было показано в [10], термодинамический потенциал необходимо минимизировать по γ

$$\frac{\partial\Phi}{\partial\gamma} = \frac{\partial\Phi}{\partial\eta} \frac{\partial\eta}{\partial\gamma}.$$

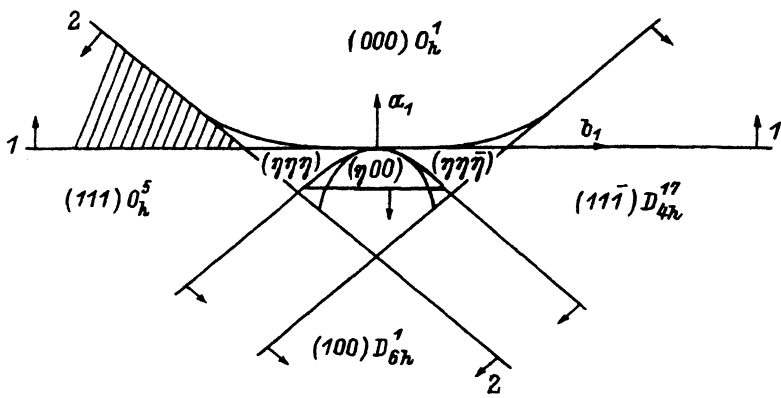


Рис. 4. Фазовая диаграмма для переходов B1-B2 в щелочно-галоидных кристаллах. Заштрихована область гистерезиса перехода B1-B2, соответствующая экспериментальным T-P диаграммам, приведенным в [2]. 1 — граница устойчивости фазы (000), 2 — граница устойчивости фазы (111). Указаны также линии устойчивости для фаз (111), ($\eta\eta\eta$), ($\eta\eta\bar{\eta}$), ($\eta\bar{\eta}\bar{\eta}$), ($\eta\bar{\eta}\eta$), ($1\eta\eta$), (11η), ($1\eta_1\eta_2$).

Параметр порядка Ландау в данном случае ограничен, $|\eta| \leq 1$. Решению уравнения состояния $\partial\eta/\partial\gamma = \cos(\gamma) = 0$ соответствует $|\gamma| = 1$, что выражается в появлении новых элементов симметрии кристалла. Фазу, соответствующую такому решению, принято называть предельной [10].

Фазовая диаграмма для инвариантов (3) для случая малых γ впервые была рассмотрена в [5]. Каноническая фазовая диаграмма для малых η была построена в [18]. Кроме перечисленных в [5, 18] решений, существует еще шесть предельных фаз: (111), соответствующая (при равенстве длин минимальных трансляций) пространственной группе O_h^5 , ($11\bar{1}$) — D_{4h}^{17} , (100) — D_{6h}^1 , а также фазы ($1\eta\eta$), (11η), ($1\eta_1\eta_2$). На рис. 4 представлены линии устойчивости нульпараметрических фаз (000), (111) и ($11\bar{1}$), (100). Эти линии сохранят свой вид для потенциала, представленного в виде полинома любой степени.

При анализе параметра порядка, проведенном выше, не учитывалось наличие в структуре атомов двух сортов. В модели твердых сфер с учетом малого изменения расстояний между ионами некоторые фазы, например ($11\bar{1}$), осуществимы только при вытеснении ионов другого сорта в соседние поры. Однако переход между структурами B1-B2 подчиняется указанным выше предположениям. Область гистерезиса этого перехода заштрихована на рис. 4. Для анализа конкретных переходов и возможности появления новых фаз необходимо из всего пространства фазовой диаграммы выделить подпространство, отвечающее разрешенным решениям. Так, механизму перехода B1-B2 Бюргера будет отвечать равенство $\eta_1 = \eta_2 = \eta_3$. Механизму, предложенному здесь для CsCl и галоидов K и Rb, отвечает равенство двух компонент $\eta_1 = \eta_2, \eta_3$. Сравнение участка диаграммы (рис. 4) с экспериментальными фазовыми диаграммами, приведенными в [2], указывает на качественное совпадение результатов.

Список литературы

- [1] Лившиц Л.Д., Рябинин Ю.Н., Ларионов Л.В., Зверев А.С. // ЖЭТФ. 1968. Т. 55. № 4. С. 1173-1185.
- [2] Петрунина Т.И., Сошников В.И., Эстрин Э.Н. // Кристаллография. 1972. Т. 17. № 2. С. 423-425.
- [3] Вальковский С.Н., Ерофеев В.Н., Пересада Е.Г., Понятовский Е.Г. // ФТТ. 1992. Т. 34. № 2. С. 360-364.
- [4] Сахненко В.П., Таланов В.М. // ФТТ. 1980. Т. 22. № 3. С. 785-792.
- [5] Гуфан Ю.М. Структурные фазовые переходы. М.: Наука, 1982. 304 с.
- [6] Buerger M.J. // Phase Transformations in Solids / Ed. R. Smoluchowski. N.Y.-L., 1951. P. 183.
- [7] Watanabe M., Tokonami M., Morimoto N. // Acta Cryst. 1977. V. A33. N 2. P. 360-364.
- [8] Okai B. // J. Phys. Soc. Japan. V. 50. N 10. P. 3189.
- [9] Базаров И.П., Геворкян Э.В., Сактаганов М.Ж. // ЖФХ. 1990. Т. 64. № 2. С. 1920-1924.
- [10] Гуфан Ю.М., Дмитриев В.П., Толедано П. // ФТТ. 1988. Т. 30. № 4. С. 1057-1064.
- [11] Dmitriev V.P., Rochal S.B., Gufan Yu.M., Toledano P. // Phys. Rev. Lett. 1988. V. 60. N 19. P. 1958-1961.
- [12] Dmitriev V.P., Gufan Yu.M., Toledano P. // Phys. Rev. B. 1991. V. 44. N 14. P. 7248-7255.
- [13] Dmitriev V.P., Rochal S.B., Gufan Yu.M., Toledano P. // Phys. Rev. Lett. 1989. V. 62. N 21. P. 2495-2498.
- [14] Chatterji S., Mackey A.L., Jeffery J.W. // J. Appl. Cryst. 1971. V. 4. N 2. P. 175.
- [15] Киттель Ч. Введение в физику твердого тела. М.: Наука, 1978. С. 128.
- [16] Ковалев О.В. Неприводимые и индуцированные представления и копредставления федоровских групп. М.: Наука, 1986. 368 с.
- [17] Ландау Л.Д., Лифшиц Е.М. Статистическая физика. Ч. 1. Серия „Теоретическая физика”. Т. 5. М., 1976. 586 с.
- [18] Кутъин Е.И. // Автореф. канд. дис. Ростов н/Д., 1988.

Северо-Кавказский
научный центр
высшей школы
Ростов-на-Дону

Поступило в Редакцию
14 декабря 1992 г.